

Л. В. ГОРЮНОВ, А. И. БЕЛОУСОВ

## ВЛИЯНИЕ ПЕРЕМЕННОЙ ВЫСОТЫ ЗАЗОРА И ТОРЦЕВОЙ УТЕЧКИ НА РАСПРЕДЕЛЕНИЕ ДАВЛЕНИЯ В РАДИАЛЬНОМ ГИДРОСТАТИЧЕСКОМ ПОДШИПНИКЕ

### УСЛОВНЫЕ ОБОЗНАЧЕНИЯ

- $\bar{W}$  — коэффициент несущей способности;  
 $d_2$  — диаметр вала;  
 $b_n$  — ширина продольной перемычки между камерами;  
 $\bar{b}_n = \frac{b_n}{d_2}$  — относительная ширина продольной перемычки;  
 $s_k$  — ширина камеры в сечении, перпендикулярном оси подшипника;  
 $\epsilon$  — относительный эксцентриситет;  
 $\Phi$  — параметр конструкции первого рода, характеризующий соотношение гидродинамических сопротивлений капилляров и торцовых щелей подшипника;  
 $\theta$  — центральный угол;  
 $p$  — давление;  
 $p_k$  — давление в камере.

В настоящее время наиболее изучены характеристики радиальных гидростатических подшипников для одномерного течения смазки на продольных перемычках (на перемычках между камерами).

Однако при определенной ширине перемычки  $\bar{b}_n = \frac{b_n}{d_2}$  необходимо рассматривать дву- или трехмерный поток. Характеристики подшипников с двумерными моделями течения смазки на продольных перемычках имеются в работах [1], [2], [3], а на торцовой перемычке — в работе [4]. Но многие вопросы, в том числе и такие, как границы области, в которой необходимо вести расчет дву- или трехмерного течения смазки, влияние формы камеры, в них не рассматривались.

Цель настоящей работы — изучить влияние переменной высоты зазора и торцевой утечки на характеристики подшипников и дать

рекомендаций, позволяющие обоснованно выбирать расчетную модель течения смазки на продольной перемычке. В связи с этим целесообразно рассмотреть две задачи: расчет бесконечного подшипника с переменным вдоль смазочного слоя зазором и расчет подшипника с постоянным зазором, с учетом влияния торцевой утечки на распределение давления.

### Расчет подшипника при переменной высоте радиального зазора. Двумерная задача

В работе [3] показано, что при  $\varepsilon = 0,4 \div 0,9$  допущение о линейности изменения давления на продольной перемычке приводит к завышению коэффициента несущей способности  $\bar{W}$ . На него оказывают влияние два фактора, действующих противоположно. Увеличение  $b_n$  при постоянном числе камер ведет к уменьшению потока выравнивающего давления в камерах, и, следовательно, к росту  $\bar{W}$ . Но при этом увеличивается влияние переменного зазора, который перераспределяет давление таким образом, что  $\bar{W}$  уменьшается. Действие этих факторов приводит к существованию при больших эксцентриситетах ( $\varepsilon = 0,4 \div 0,9$ ) оптимальной ширины камеры.

По методике, изложенной в [3], был просчитан четырехкамерный подшипник с капиллярной компенсацией на входе при различной ширине камер  $\Theta_k = 0,1 - 1,4$ . Результаты расчетов, представленные на рис. 1—6, позволяют заключить, что ширина камеры оказывает более сильное влияние на несущую способность подшипника с ростом относительного эксцентриситета и параметра конструкции первого рода  $\Phi$  [4]. Оптимальная величина параметра  $\Phi_{\text{опт}}$  при изменении ширины камеры лежит в пределах  $0,2 \div 0,4$ . Оптимальная ширина камеры зависит от эксцентриситета и параметра  $\Phi$ . Так, при  $\Phi_{\text{опт}} = 0,3$ ,  $b_{\text{копт}} = 0,9 \div 1,3$  при изменении  $\varepsilon$  от  $0,6 \div 0,9$ , а при  $\Phi = 1$   $b_{\text{копт}} = 0,8 \div 1,2$ .

По графикам получается (см. рис. 5, 6), что при  $\Theta_k = 0,2 \div 0,3$  существует оптимальный по  $\bar{W}$  эксцентриситет, чего нет в действительности. Здесь надо иметь в виду, что в методике не принимается во внимание влияние торцевой утечки на распределение давления. Как будет показано ниже, для  $\bar{b}_n \cong 0,5 \div 0,6$  или  $\Theta_k = 0,2 \div 0,3$ , это влияние нельзя не учитывать.

В заключение отметим, что необходимость учитывать переменную высоту зазора возникает для  $-\frac{\pi}{2} \leq \Theta \leq \frac{\pi}{2}$ , если относительная ширина перемычки  $\bar{b}_n \geq 0,3$ , а для  $\frac{\pi}{2} \leq \Theta \leq \frac{3}{2}\pi$ , если  $\bar{b}_n \geq 0,08$ . Указанные рекомендации относятся к подшипникам с любым числом прямоугольных камер.

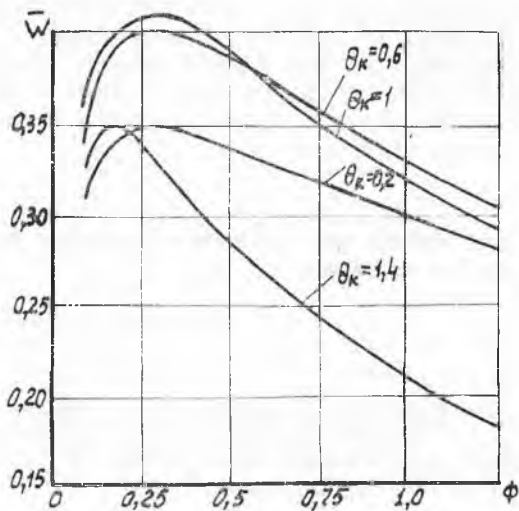


Рис. 1. Зависимость коэффициента несущей способности  $\bar{W}$  от параметра конструкции первого рода  $\Phi$  при  $\epsilon=0,6$  и диаметре вала 32 мм

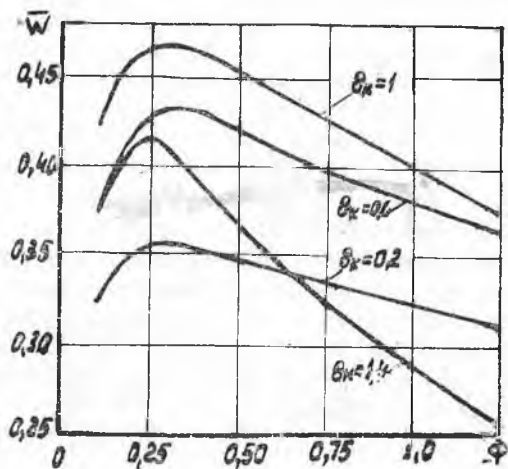


Рис. 2. Зависимость коэффициента несущей способности  $\bar{W}$  от параметра конструкции первого рода  $\Phi$  при  $\epsilon=0,7$

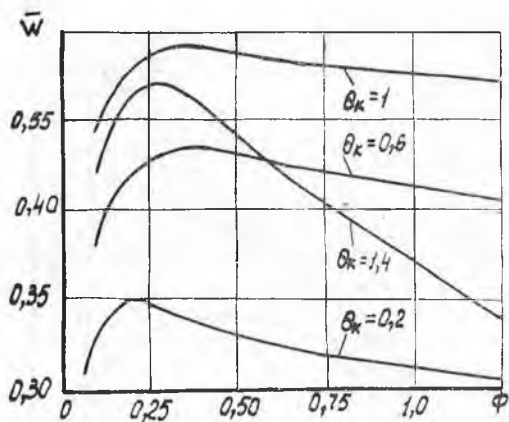


Рис. 3. Зависимость коэффициента несущей способности  $\bar{W}$  от параметра конструкции первого рода  $\phi$  при  $\epsilon=0,8$

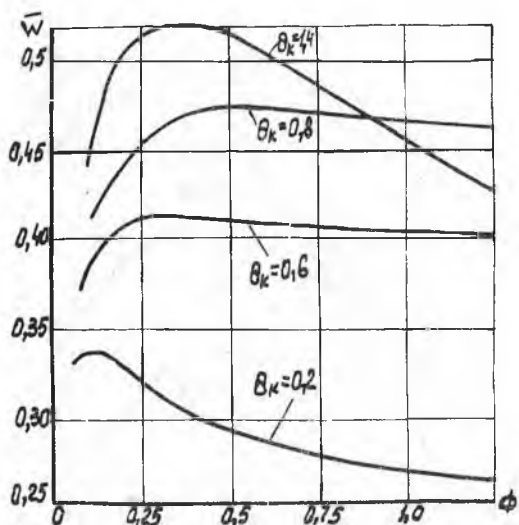


Рис. 4. Зависимость коэффициента несущей способности  $\bar{W}$  от параметра конструкции первого рода  $\phi$  при  $\epsilon=0,9$

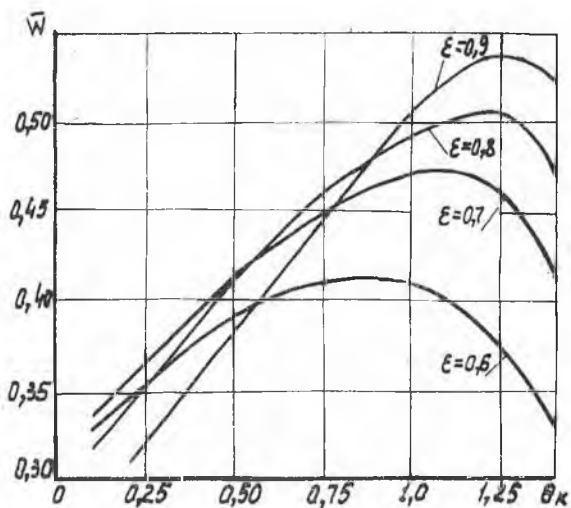


Рис. 5. Зависимость коэффициента несущей способности  $\bar{W}$  от ширины камеры  $\theta_k$  при  $\Phi=0,3$  и различных эксцентриситетах

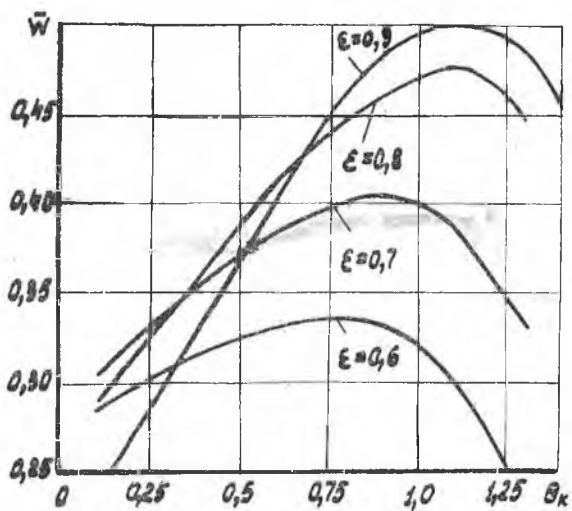


Рис. 6. Зависимость коэффициента несущей способности  $\bar{W}$  от ширины камеры  $\theta_k$  при  $\Phi=1$  и различных эксцентриситетах.

## Расчет подшипников с постоянным радиальным зазором и влиянием торцевой утечки на распределение давления. Двумерная задача

Функция давления на продольной перемычке радиального гидростатического подшипника может существенно изменяться при утечке торцевого истечения.

В этом случае при переменном зазоре получается трехмерное движение смазки. Расчет многокамерного радиального подшипника с трехмерным движением смазки на продольных перемычках — процесс трудоемкий даже при использовании ЭЦВМ. Поэтому целесообразно изучить влияние торцевого истечения при постоянном зазоре. Это позволит, используя результаты предыдущего раздела, определить границы области, в которой необходимо вести расчет трехмерного потока смазки на перемычке. В настоящее время такие рекомендации отсутствуют.

Изучение двумерного течения смазки в плоскости  $x_1, z$  имеет и самостоятельное значение, поскольку при малых эксцентриситетах ( $\varepsilon \leq 0,4$ ) можно пренебречь влиянием переменности зазора на характеристики подшипника [3].

Уравнение давлений для течения смазывающей жидкости между двумя параллельными стенками, расстояние между которыми мало, имеет вид [5]

$$\Delta p = \frac{\partial^2 p}{\partial x_1^2} + \frac{\partial^2 p}{\partial z^2} = 0, \quad (1)$$

где  $x_1$  — направление вдоль смазочного слоя.

Отыскание гармонической функции давления  $p = p(x_1, z)$  при известных значениях этой функции на границах замкнутой поверхности представляет задачу Дирихле. Решение ее известно [6]. Такой путь решения уравнения (1) удобен для подшипников с прямоугольной формой камер. Однако в настоящее время применяются подшипники и с другой формой камеры, например, двутавровой. В этих случаях граничные условия значительно усложняются. Задача Дирихле для таких граничных условий пока не решена. Поэтому представляется целесообразным рассмотреть влияние формы камеры на распределение давления. В литературе по гидростатическим подшипникам такие данные отсутствуют.

Исходя из поставленных целей, наиболее рациональным является отыскание функции давления  $p(x_1, z)$  с помощью электрогидродинамической аналогии.

Электрический потенциал при протекании тока в среде с известной проводимостью удовлетворяет уравнению Лапласа [7]

$$\Delta U = 0. \quad (2)$$

Из сравнения уравнений (1) и (2) ясно, что, определив потенциал  $U_i$  в точке  $i$ , найдем также и давление в этой точке. Исследования проводились на установке ЭГДА. Были сняты эпюры рас-

пределения давления на перемычке для подшипника с прямоуголь-  
ными камерами и относительной шириной  $\bar{b}_n = 0,6; 0,43; 0,25; 0,08$   
(рис. 7, 8, 9, 10 соответственно). В нижнем правом углу показано  
распределение давления  $p = \text{const}$  при одинаковых давлениях в  
камерах  $p_{ik} = 100\%$ . В левой половине развертки подшипника дано  
распределение давления при давлениях в соседних камерах

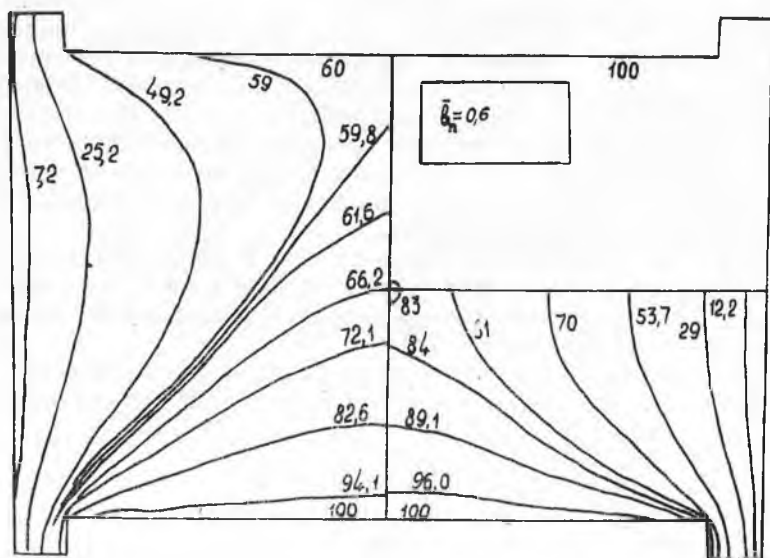


Рис. 7. Распределение давлений на перемычках между камерами (кривые  $p = \text{const}$ ) при  $\bar{b}_n = 0,6$  и прямоугольных камерах.

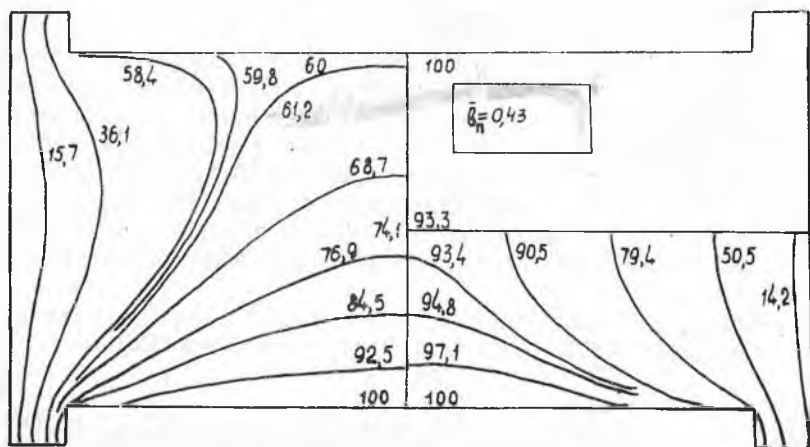


Рис. 8. Распределение давлений при  $b_n = 0,43$  и прямоугольных камерах.

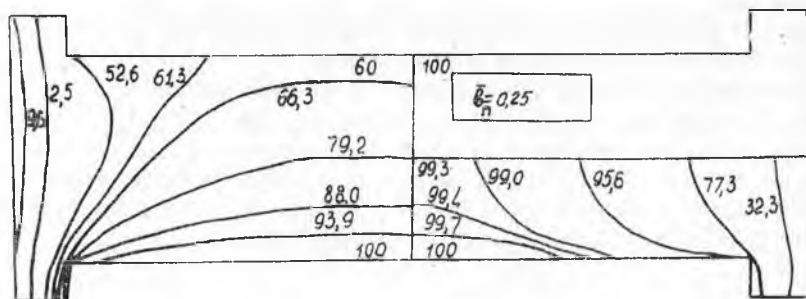


Рис. 9. Распределение давлений при  $\bar{b}_n = 0,25$  и прямоугольных камерах

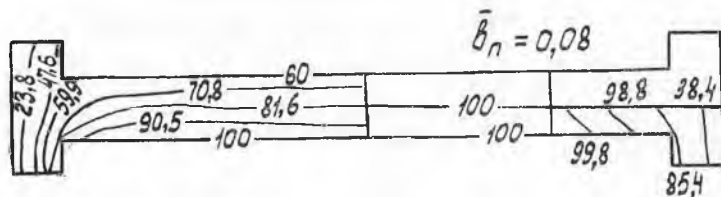


Рис. 10. Распределение давлений при  $\bar{b}_n = 0,08$  и прямоугольных камерах.

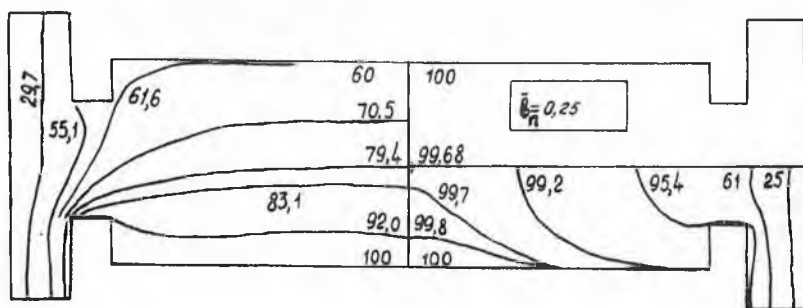


Рис. 11. Распределение давлений при  $\bar{b}_n = 0,25$  и двутавровой форме камеры.

$p_k = 100\%$  и  $60\%$ . Изучение рис. 7, 8, 9, 10 позволяет сделать следующие выводы:

при относительной ширине перемычки  $\bar{b}_n = 0,13-0,15$  для камер прямоугольной формы необходимо учитывать влияние торцевого расхода на распределение давления;

если  $\bar{b}_n < 0,25$ , то при  $z = 0$  имеем функцию давления, соответствующую бесконечному подшипнику;

модель Фуллера для течения смазки на перемычке, которая сейчас применяется во всех расчетах, дает большую погрешность с уменьшением перепада давления между камерами и увеличением



$b_n$ . Так, из рис. 7 видно, что для  $b_n=0,6$  при давлениях в камерах, равных 100% и 60%, смазка из камеры с большим давлением не поступает в камеру с меньшим давлением.

Применение двутавровой формы камеры позволяет получить более полную эпюру давлений на перемычке (рис. 11). Для  $b_n < 0,25$  можно рассчитывать поток без учета торцевого истечения на распределение давления. Таким образом, одним из конструктивных мероприятий, повышающих несущую способность подшипника, является использование камер двутавровой формы.

#### ЛИТЕРАТУРА

1. I. B. Shukla. Applied Science Research, Section A, № 6, 1964.
2. Е. Е. Малаховский «Машиноведение», № 6, 1966.
3. Л. В. Горюнов. «Авиационная техника», ИВУЗ, № 4, 1968.
4. А. И. Белоусов. Труды МАИ, выпуск 180, М., 1968.
5. В. Н. Константинеску. Газовая смазка «Машиностроение», М., 1968.
6. И. Н. Бронштейн и К. А. Семендяев. Справочник по математике, М., 1954.
7. Б. А. Волынский и В. Е. Бухман. Модели для решения красных задач. Физматгиз, М., 1960.